

河川弯曲部の流れと掃流砂運動との関連に関する一考察

建設省土木研究所 正員 馬場洋二

弯曲部における流砂の特異な運動については定性的には各所で論じられているが、その運動と弯曲部の河床形成との関係についてはまだ不明の所が多い。しかし河道計画に際して度々、弯曲部内岸の堆積の時間的進行度や堆積場所・規模の予測が要求される。このような場合弯曲部内岸側の堆積現象を予測する第一歩として、弯曲部内における掃流砂や浮遊砂の運動機構について調べる必要がある。

1. 考察 弯曲部での掃流砂の詳細な運動機構については、既に芦田博士¹⁾が先駆的実験を行ない検討を加えられている。²⁾芦田³⁾は実用的な意味で、Rozovskii⁴⁾がえた流速分布より得られる(1)式の関係が成立することを確かめ、また同式による砂礫堆の境界線の計算を試みられている。

$$\tan \psi = \frac{U_{rb}}{U_{ob}} = D \cdot \frac{r}{r} \quad \dots \dots (1) \quad \frac{g r_c}{U_m^2} \log \frac{r+a}{r_0+a} = D \cdot \theta \quad \dots \dots (2)$$

ここに ψ は流線と接線とのなす角度で r :水深、 r :流線の曲率半径および D は定数である。 U_{rb} , U_{ob} はそれぞれ流砂のある付近の高さの半径、接線方向、流速成分である。同式により底面付近の流線を、従って掃流砂の移動速度が U_{rb} , U_{ob} に比例するものと仮定すれば掃流砂の運動経路をも計算できる。通常の円柱座標をとり、等流状態では $\tan \psi = U_{rb}/U_{ob} = dr/r da$ となるから、例えば $r = r_1 + (t-t_1) U_m^2 / g r_c$ (一様流速分布 U_m の仮定、 r_1 :内岸水深、 r_1, r_c :内岸および水路中心線の曲率半径、 g :重力加速度) と考えれば、河床面付近の流線および掃流砂の経路の式は(2)式のようになる。ここに $a = r_1 + g r_c t_1 / U_m^2$ で、 r_0 は弯曲始端での流線の半径あるいは積分定数である。(2)式は流線の半径 r が漸減する曲線を表わし、また自由端や強制端等の仮定に対しても同様に簡単に計算できる。

2. 実験および結果 実験は大型河川模型の一割を使用し掃流砂の経路を求める実験を A, B, 2 ケース行なった。A 実験は掃流砂の経路を河床上に残すために、河床に一様にしかも密に粗度石を置いた。粗度石は直径 7 ~ 8 mm で間隔 20 mm の格子状に水路の弯曲に沿わせておき、できるだけ一様に 2 次流に影響を与えるようにした。B 実験では粗度石を除き、予め弯曲始端の横断方向に前記粗度石と 20 mm 間隔に並列し、流れにより粗度石の後方に発達する wake の跡の方向に、離断的に 2 の間隔で更に粗度石を投入して後流の跡を強調した。砂の流送経路は、こうして河床に残した砂の帶状の筋の中央部を測量して求めた。水路は平面的にみて弯曲船錨と終端とを決め、巾 3.5 ~ 4.3 m, 長さ約 20 m, 半径は図-1 に示す様に 2 の内弧を組み合めた形状で、断面はほぼ矩形(計画断面)でモルタル製である。流量は 391 l/s の急流、水深は約 34 cm、平均粒径 0.21 mm の石炭粉($\gamma = 1.5$)を掃流材料に用了した。両実験とも実験開始前に弯曲部上流に敷きつめておりた。A 実験では 2 時間、B では 4 時間通水した。通水後河床に残された石炭粉の筋の中央を測量して求めたのが図-1 流線図である。同図には A, B の測定結果を同時に示した。B 実験の場合後流を長くせずに、上流部、中央部および下流部の離断的に 3 つの区间に分けた。

3. 検討 図-1 に示す石炭粉の筋をそのまま石炭粉の流送経路と考えるのは問題があつたが、集団的でしかも巨視的な意味ではそう考える事が許されるであろう。また A 実験の場合、流線は粗度石によって若干矯正される事は免れない。各流線は A, B 実験とも水路中心より一様に偏航しており、

(2)式に示す傾向と一致しそかも芦田氏らの実験結果と部分的には一致する。外岸側の筋が途中で消えているのは、その地盤から浮遊に近い状態で流送されたものであり、他方内岸側の筋が消えているのは、堆積部内にはより、筋を識別できぬからである。内岸の2ヶ

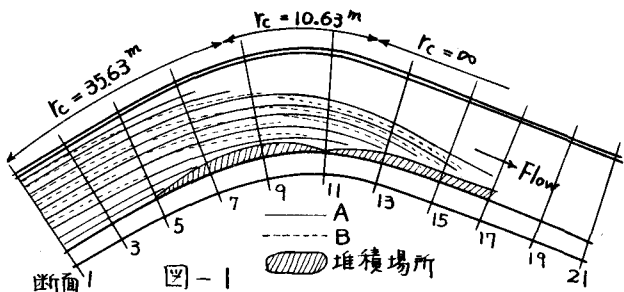


図-1

所の初期堆積には浮遊砂の沈降によるものが相当含まれているが、石炭粉の経路がその中にはりついているから、掃流砂も堆積していると考えられる。断面11~15の石炭粉の経路が集中している様な場所は、単位巾濾過能力以上に供給される部分が堆積し始めであろう。このような実験により使用砂の粒径と交通に適当に選べば弯曲部の堆積・浚掘の境界線をかなり明確にできよう。図-1によ

り各流線について $\Delta l / \Delta r$ ($\approx dV/d\theta$) の縦断的変化を調べてみたが(図省略)，弯曲中央でB実験の値が大きい以外には、データは $\Delta l / \Delta r = 0 \sim 0.1$ の間で不規則にバラつき、また半径方向の変化も顕著でなくその傾向を把握できなかつた。次に図-3, 4は縦軸に流線の弯曲始端(図-1の断面1)からの総偏移距離、横軸に緯断距離をとってプロットしたもので、無次元化していない。

図-3(A実験)では各流線にもややや直線的な傾向があり、川口の流線の平均勾配は $\Delta r / \Delta l$ の図(略)の平均値に大略一致する。図-4(B実験)の場合には弯曲中央部のデータ(●印)が上下流に比べて少し大きく、大きい偏向を受けている様である。これらより、この弯曲部の場合、多くて3つの小区間に分けた1小区内では $\Sigma(\Delta r) / L$ の関係はほぼ直線的であると思ふ事ができよう。この弯曲部では L が大きいかく弯曲偏角が比較的小だから $L = \Sigma(\Delta l)$ を考え、またこの小区区内では $\Delta r / \Delta l = \text{const.}$ と仮定すれば

$$\Sigma(\Delta r) / L = \Sigma(\Delta r) / \Sigma(\Delta l) = \Delta r / \Delta l = V_{rb} / V_{ob} = \text{const.}$$

となる。この時小区間内の流線経路は $r / r_o = \exp\left\{\frac{V_{rb}}{V_{ob}} \cdot \theta\right\}$ で示される。ここに V_{rb} は直の値をとり、A実験では $V_{rb}/V_{ob} = -0.06$ 、B実験では中央部で-0.12、上下流で-0.074程度であった。これは(1)式で $R = \text{const.}$ に相当する。

4.まとめ 大型水路実験で掃流砂の進行経路を求め、河道計画断面初期の土砂堆積現象がより程度明らかになった。今後定半径弯曲部での実験で無次元化、方向を考え、堆積が進行した後の取り扱いおよび外岸の浚掘と内岸の堆積の同時現象について追求したいと考えている。参考文献 1)吉川「河川工学」朝倉書店 2)芦田・植見「水路における砂礫堆の水理特性について」京大防災研年報、第9号 昭和41年 3)芦田・村本・坂本「弯曲水路における河床変動に關する研究」第22回年次学術講演会講演概要(2424)前記 2)

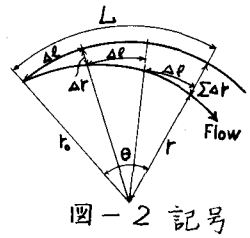


図-2 記号

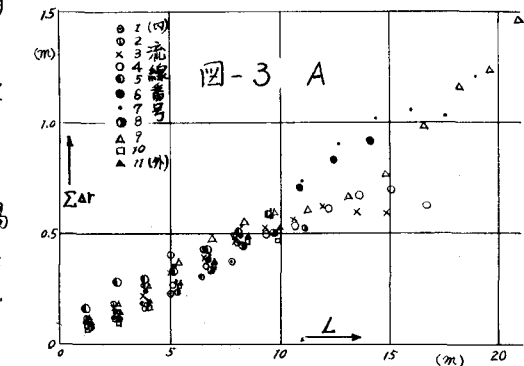


図-3 A

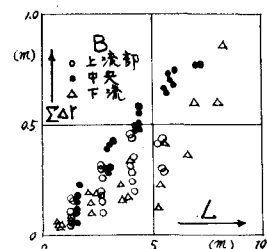


図-4